

[4] 张志凌,刘琳,郭宏怡,等.三维斑点追踪成像技术评价不同狭窄程度的冠心病患者左心室扭转运动[J].中国超声医学杂志,2016,32(10):894-897.

[5] 高亚坤,张玉辉,刘颖,等.三维超声斑点追踪技术在不同冠状动脉狭窄程度患者心肌收缩功能评估中的价值[J].中国老年学杂志,2017,12(37):3036-3038.

[6] 刘佳霓,刘佳升,白文娟,等.三维斑点追踪成像定量评价不同狭窄程度冠心病患者左心室收缩功能的应用价值[J].中华超声影像学杂志,2015,24(1):1-5.

[7] Sun YJ, Wang F, Zhang RS, et al. Incremental value of resting three-

dimensional speckle tracking echocardiography in detecting coronary artery disease[J].Exp Ther Med,2015,9(6):2043-2046.

[8] Luo Y, Liu Y, Guan X, et al. Value of three dimensional-speckle tracking imaging for predicting left ventricular function after non-ST-segment elevation myocardial infarction with percutaneous coronary intervention[J].J Xray Sci Technol,2018,26(2):331-339.

[9] Wang Q, Zhang C, Huang D, et al. Evaluation of myocardial infarction size with three-dimensional speckle tracking echocardiography: a comparison with single photon emission computed tomography [J]. Int J Cardiovasc Imaging,2015,31(8):1571-158.

(收稿日期:2019-03-12)

· 病例报道 ·

### Ultrasonic manifestations of eosinophilic adenoma of parotid gland : a case report

## 腮腺嗜酸细胞腺瘤超声表现 1 例

赖美燕 过新民

[中图分类号]R445.1

[文献标识码]B

患者女,24岁,自诉半年前偶然触及右侧耳后肿物,自觉轻微刺痛,无发热、压痛等不适,1个月前自觉耳后肿物疼痛加重,外院MRI检查提示右侧腮腺占位性病变,考虑腮腺混合瘤。为进一步治疗,遂来本院就诊。体格检查:右侧耳垂后下部可触及一约2.0 cm×1.5 cm肿块,表面光滑,边界清楚,活动度可,表面皮肤皮温稍高,无压痛、无面瘫等症状。超声检查:右耳下方腮腺内见一大小约3.0 cm×2.2 cm低回声,边界清,形态欠规则,内回声不均,边缘可见片状无回声区,部分无回声内充满点状强回声伴彗星尾征,后方回声稍增强;CDFI示低回声内探及较丰富血流信号,呈门型+边缘散在分布(图1)。超声提示:右侧腮腺内混合性结节,考虑炎症性结节可能。后行面神经解剖术/腮腺切除术,术后病理检查示:送检肿物由圆形、多边形细胞构成,肿瘤细胞排列呈梁索状、管状,肿瘤细胞胞质丰富、嗜酸,可见嗜伊红颗粒,核仁可见,偶见核分裂象(图2)。免疫组化:CK(+),P63(基底细胞+),Calponin(+/-),CgA(-),SYN(-),CD56(-),S-100(-),P53(-),Ki67(热点区5%+)。病理提示:(右腮腺)嗜酸细胞腺瘤。

讨论:嗜酸细胞腺瘤由富含线粒体的嗜酸性细胞组成,是一种罕见的良性上皮性肿瘤,占有涎腺肿瘤的1.0%~2.2%<sup>[1]</sup>。该病主要发生在腮腺,好发于50岁以上中老年人,临床表现为腮腺区缓慢生长的无痛性肿物,一般不侵犯面神经,偶可有间歇性疼痛,当肿物恶变时可增长迅速或出现疼痛、麻木等症状。该病组织发生机制尚不明确,研究<sup>[2]</sup>表明70岁以上人群的涎腺组织中存在高达80%的嗜酸细胞,故认为嗜酸性细胞的出现可能为老年现象。本例患者为年轻女性,声像图提示肿瘤血供较丰富,考虑其发生可能与其胞浆内存在大量线粒体相关,而非退行性病变。腮腺嗜酸细胞腺瘤发病率较低,缺乏特异性的临床表现,极易误诊,需与腺淋巴瘤、多形性腺瘤、慢性腮腺炎等相鉴别。本例超声表现为单发边界清晰、形态欠规则的低回声肿物,内部回声不均匀伴边缘小囊变,与金煜芳和郑屹峰<sup>[3]</sup>总结的CT表现相似,结合CDFI血流分布特点,说明超声亦有助于诊断嗜酸细胞腺瘤,最终确诊仍依靠病理及免疫组化诊断。

#### 参考文献

[1] Popovski V, Benedetti A, Monevska DP, et al. Oncocytoma of the deep lobe of the parotid gland[J]. Open Access Maced J Med Sci, 2016,4(2):290-292.

[2] Sharma V, Kumar S, Sethi A. Oncocytoma parotid gland [J]. Ann Maxillofac Surg, 2018,8(2):330-332.

[3] 金煜芳,郑屹峰.腮腺嗜酸细胞腺瘤16例影像学分析[J].肿瘤学杂志,2018,24(5):509-512.

(收稿日期:2019-12-10)

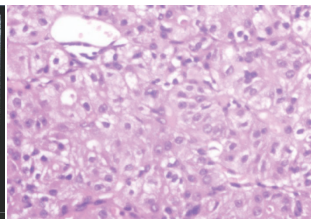
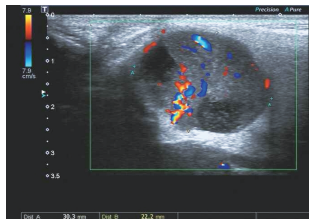


图1 腮腺嗜酸细胞腺瘤超声图像 图2 腮腺嗜酸细胞腺瘤病理图 (HE染色,×200)